

|                          |      |           |                          |
|--------------------------|------|-----------|--------------------------|
| (51)Int.Cl. <sup>7</sup> | 識別記号 | F I       | テ-マコード <sup>8</sup> (参考) |
| H03K 3/84                |      | H03K 3/84 | A 5J049<br>Z             |

審査請求 有 請求項の数 5 O L (全 9 頁)

|          |                                   |         |   |
|----------|-----------------------------------|---------|---|
| (21)出願番号 | 特願2002 - 120552( P 2002 - 120552) | (71)出願人 | 390014306<br>防衛庁技術研究本部長<br>東京都新宿区市谷本村町 5 番 1 号                  |
| (22)出願日  | 平成14年 4 月23日(2002.4.23)           | (71)出願人 | 501467393<br>株式会社富士通システム統合研究所<br>神奈川県川崎市中原区上小田中 4 丁目 1 番<br>1 号 |
|          |                                   | (72)発明者 | 荒木 完<br>東京都練馬区高松 2 - 6 - 15                                     |
|          |                                   | (74)代理人 | 100105337<br>弁理士 眞鍋 潔 (外 3 名)                                   |

最終頁に続く

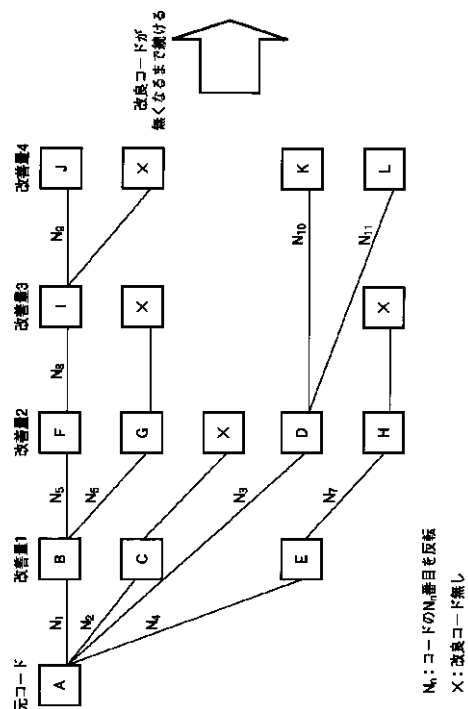
(54)【発明の名称】自己相関性の高い2相コード生成方法

(57)【要約】

【課題】 自己相関性の高い2相コード生成方法に関し、M系列コード又はL系列コード等の2相コードに対して、より自己相関性の高い改良コードを簡易にかつ速やかに探索することを可能にする。

【解決手段】 元コードAに対して、そのN<sub>i</sub>番目~N<sub>i+1</sub>番目の符号をそれぞれ1箇所ずつ反転して生成した各コードB~Lの自己相関を算出し、符号反転によりサイドローブが低下した2相コード、即ち自己相関性が改善された2相コードが存在するかどうかを判定する。改善された2相コードに対して、引続き同様に1箇所の符号反転を行って自己相関性の改善があるかどうかを判定し、自己相関性の改善が現れなくなるまで、1箇所ずつ位置を変えて符号を反転して、より自己相関性が改善される2相コードを探索し、最も自己相関性が高い2相コードを生成する。

本発明による改良2相コードを探索する手順



## 【特許請求の範囲】

【請求項 1】 巡回コードを構成する 2 相コードの 1 箇所の符号のみを反転した各 2 相コードの各自己相関を算出し、符号反転位置を変えた各 2 相コードの中から最も自己相関性の高い 2 相コードを探索して生成することを特徴とする 2 相コード生成方法。

【請求項 2】 巡回コードを構成する 2 相コードの 1 箇所の符号のみを反転した各 2 相コードの各自己相関を算出し、それらの自己相関性が符号反転前の 2 相コードより高いか否かを判定し、符号反転前より自己相関性が高いと判定された 2 相コードに対して、他の 1 箇所の符号のみを反転した 2 相コードの自己相関を算出し、それらの自己相関性が符号反転前の 2 相コードより高いか否かを判定する処理を、より高い自己相関性が得られなくなるまで繰り返し行い、最も自己相関性の高い 2 相コードを探索して生成することを特徴とする 2 相コード生成方法。

【請求項 3】 前記巡回コードとして M 系列コード又は L 系列コードを用いたことを特徴とする請求項 1 又は 2 に記載の 2 相コード生成方法。

【請求項 4】 前記 2 相コードの 1 箇所の符号のみを反転した 2 相コードの自己相関を算出する際に、コード長、サイドローブ改善値又は符号反転位置のパラメータに関する統計的特性に基づいて、符号反転位置を決定することを特徴とする請求項 1 乃至 3 の何れかに記載の 2 相コード生成方法。

【請求項 5】 パルス圧縮用信号、妨害対策用信号、拡散符号用信号又は秘匿通信信号に用いる 2 相コードとして生成することを特徴とする請求項 1 乃至 4 の何れかに記載の 2 相コード生成方法。

## 【発明の詳細な説明】

## 【0001】

【発明の属する技術分野】本発明は、自己相関性の高い 2 相コード生成方法に関し、特に M 系列コード又は L 系列コード等の巡回コードについて、自己相関のサイドローブが低く、自己相関性がより一層改善された改良 2 相コードを探索して生成する方法に関する。

## 【0002】

【従来の技術】2 相コードは値が“1”及び“-1”の符号を複数並べた符号列から成るコードで、その自己相関は振幅の大きな鋭いパルスを与える。この特徴を活かして信号対雑音比 (S/N) の改善や信号の広帯域化などに利用される。このコードの例として Barker Code 13 の自己相関の結果を図 4 に示す。

【0003】図 4 の (a) はコード長 13 の Barker Code の符号列の一例を示し、同図 (b) はその自己相関の算出式を表し、同図 (c) は Barker Code 13 の自己相関結果をグラフにより表している。

【0004】但し、自己相関性の高いコードを見つけ出

す場合、コード長が N であれば  $2^N$  種類のコードに対してその自己相関を求め、その中から最も信号対雑音比 (S/N) が良く、サイドローブのレベルが低いコードを見つけ出す演算を行わなければならない、コード長の長いコードに対して自己相関性の高い最適コードを生成するには、膨大な計算量が必要で長時間を要していた。

【0005】最適コードは、現在のところコード長が 100 程度のコードまでは知られているが、更に長いコードについては最適コードが完全に究明されておらず、代りのコードとして巡回コードである M 系列コード又は L 系列コード等が使用されている。以下に M 系列コード及び L 系列コードについて説明する。

【0006】M 系列コードについて図 5 を参照して説明する。M 系列コードは、N 列のコードの初期値 ( $C_1, C_2, \dots, C_N$ ) 及び係数 ( $X_1, X_2, \dots, X_N$ ) を与えて、図 5 に示す式 (1) により与えられるコード  $C_{N+k}$  ( $k = 1, 2, \dots, M - N; M = 2^N - 1$ ) を順次生成し、コード長が  $M = 2^N - 1$  となるまで式 (1) の算出を行ってコードを発生させる。この M 系列コードの特徴としては、周期的に該コードを発生させて自己相関を求めると、図 6 に示すように、自己相関はコード長 “M” と “-1” の 2 値だけの値となる。

【0007】次に、L 系列コードについて図 7 を参照して説明する。L 系列コードは、図 7 の (a), (b) に示すように、先頭の符号は “+1” 又は “-1” となり、先頭以外の残りの符号列は、その前半部と後半部とで “+1” 又は “-1” の配列が左右対称又は左右反対となる。

【0008】図 7 の (a) は、コード長 P が、 $P = 1 \text{ mod } 4$  (即ち、コード長 P を 4 で除したときの余りが 1 となる値、例えば P = 5) のときの L 系列コードを示し、図 7 の (b) は、 $P = 3 \text{ mod } 4$  (即ち、コード長 P を 4 で除したときの余りが 3 となる値、例えば P = 7) のときの L 系列コードを示している。

【0009】L 系列コードのコード長 P は素数の値を取り、図 7 の (c) に示すように、先頭の符号に続く符号列の位置番号に順に 1, 2, ..., P - 1 と番号を付したとすると、図 7 の式 (2) により算出される列位置番号  $L_n$  の符号を “+1” とし、残りの列位置の符号を “-1” とし、この符号列を巡回シフトさせることにより L 系列コードが生成される。

【0010】そして先頭コードが “+1” の場合と “-1” の場合の両方に対して、符号列を 1 列ずつ巡回シフトさせながら自己相関を求め、そのサイドローブレベルが最も低い最適コードを探索する。最適コードを探索する例として、コード長が 5 の場合とコード長が 7 の場合について図 8 及び図 9 に示す。なお、図 8 及び図 9 において “+1”、“-1” の符号を単に “+”、“-” と記している。

【0011】図 8 の表はコード長が 5 の L 系列コードに

10

20

30

40

50

ついて、先頭符号が“ + 1 ”の場合と“ - 1 ”の場合について各コードの自己相関のサイドロープレベルを示している。図 8 の表において、番号 1 のコードは先頭符号が“ + 1 ”のコードであり、番号 2 ~ 番号 5 のコードはこの番号 1 のコードを、それぞれシフト数 1 ~ 4 まで巡回シフトさせたコードである。ここで、番号 4 のコードの符号配列は番号 2 のコードの符号配列と左右対称であり、番号 5 のコードは番号 1 のコードと符号配列が左右対称である。

【 0 0 1 2 】符号が反対のコード及び配列が左右逆のコードについては、自己相関が同じ値になることから、一方のコードに対してのみ自己相関を算出すれば良い。従って、先頭符号が“ + 1 ”のコードに対して、番号 1 から番号 3 までのコードに対して自己相関を求め、そのサイドロープレベルが最小値 2 となる番号 2 又は番号 3 のコードを最適コードとして選択する。

【 0 0 1 3 】一方、番号 6 のコードは先頭符号を“ - 1 ”としたコードであり、番号 7 ~ 番号 10 のコードは、番号 6 のコードを、それぞれシフト数 1 ~ 4 まで巡回シフトさせたコードである。ここで、番号 9 のコードは番号 7 のコードと左右対称であり、また番号 10 のコードは番号 6 のコードと左右対称であることから、番号 6 から番号 8 までのコードに対して自己相関を求め、そのサイドロープレベルが最小値 2 となる番号 6 又は番号 7 のコードを最適コードとして選択する。

【 0 0 1 4 】図 9 の表はコード長が 7 の場合を示し、先頭符号が“ + 1 ”である番号 1 のコードについて、それぞれシフト数 1 ~ 6 まで巡回シフトした番号 2 ~ 番号 7 のコードに対して自己相関を求め、そのサイドロープレベルが最小値 1 となる番号 5 のコードを最適コードとして選択する。

【 0 0 1 5 】また、先頭符号が“ - 1 ”である番号 8 のコードについて、それぞれシフト数 1 ~ 6 まで巡回シフトした番号 9 ~ 番号 14 のコードに対しては、番号 8 のコードは番号 7 のコードの符号反転コードと左右対称であり、以下同様に番号 9 のコードは番号 6 のコードと、番号 10 のコードは番号 5 のコードと、番号 11 のコードは番号 4 のコードと、番号 12 のコードは番号 3 のコードと、番号 13 のコードは番号 2 のコードと、番号 14 のコードは番号 1 のコードと、符号反転コードが左右対称であり、それらの自己相関は、対応する対称関係のコードと同じ結果となるので、番号 1 から番号 7 までのコードについて算出して決定した番号 5 のコードを最適コードとして選択することができる。

【 0 0 1 6 】

【 発明が解決しようとする課題 】本発明は、巡回コードである M 系列コード又は L 系列コード等の 2 相コードに対して、更に自己相関性の高い改良コードを簡易にかつ速やかに探索することができる 2 相コード生成方法を提供することを目的とする。

【 0 0 1 7 】

【 課題を解決するための手段 】本発明の 2 相コード生成方法は、( 1 ) 巡回コードを構成する 2 相コードの 1 箇所の符号のみを反転した各 2 相コードの各自己相関を算出し、符号反転位置を変えた各 2 相コードの中から最も自己相関性の高い 2 相コードを探索して生成することを特徴とする。

【 0 0 1 8 】また、( 2 ) 巡回コードを構成する 2 相コードの 1 箇所の符号のみを反転した各 2 相コードの各自己相関を算出し、それらの自己相関性が符号反転前の 2 相コードより高いか否かを判定し、符号反転前より自己相関性が高いと判定された 2 相コードに対して、他の 1 箇所の符号のみを反転した 2 相コードの自己相関を算出し、それらの自己相関性が符号反転前の 2 相コードより高いか否かを判定する処理を、より高い自己相関性が得られなくなるまで繰り返し行い、最も自己相関性の高い 2 相コードを探索して生成することを特徴とする。

【 0 0 1 9 】また、( 3 ) 前記巡回コードとして M 系列コード又は L 系列コードを用いたことを特徴とする。また、( 4 ) 前記 2 相コードの 1 箇所の符号のみを反転した 2 相コードの自己相関を算出する際に、コード長、サイドロープ改善値又は符号反転位置のパラメータに関する統計的特性に基づいて、符号反転位置を決定することを特徴とする。また、( 5 ) パルス圧縮用信号、妨害対策用信号、拡散符号用信号又は秘匿通信信号に用いる 2 相コードとして生成することを特徴とする。

【 0 0 2 0 】

【 発明の実施の形態 】図 1 を参照して本発明による改良 2 相コードを探索し生成する手順を説明する。本発明による 2 相コードの生成方法は、元コード A に対してその 1 箇所のみの符号を順次反転させたコードを生成し、それらの各コードに対して自己相関を算出し、その中で更にサイドロープレベルの低い改良コードが存在するかどうかを判定する。このとき、サイドロープレベルの低下量を改善量として評価するものとする。

【 0 0 2 1 】図 1 において、元コード A の  $N_1$  番目の列位置の符号を反転したコード B の改善量が 1 で、元コード A の  $N_2$  番目の列位置の符号を反転したコード C の改善量が同じく 1 で、元コード A の  $N_3$  番目の列位置の符号を反転したコード D の改善量が 2 で、元コード A の  $N_4$  番目の列位置の符号を反転したコード E の改善量が 1 であると判定されたとする。

【 0 0 2 2 】次に、コード B に対して  $N_5$  番目の列位置の符号を反転したコード F の改善量が 2、コード B に対して  $N_6$  番目の列位置の符号を反転したコード G の改善量が同じく 2、コード C に対して何れの列位置の符号を反転しても改善量 1 以上の改善が無く、コード E に対して  $N_7$  番目の列位置の符号を反転したコード H の改善量が 2 であると判定されたとする。

【 0 0 2 3 】次に、コード F に対して  $N_8$  番目の列位置

の符号を反転したコード I の改善量が 3、コード G に対して何れの列位置の符号を反転しても改善量 2 以上の改善が無く、コード D に対して  $N_{10}$  番目の列位置の符号を反転したコード K の改善量が 4、同じくコード D に対して  $N_{11}$  番目の列位置の符号を反転したコード K の改善量が 4、コード H に対して何れの列位置の符号を反転しても改善量 2 以上の改善が無いと判定されたとする。

【0024】次に、コード I に対して  $N_9$  番目の列位置の符号を反転したコード J の改善量が 3、それ以外の列位置の符号を反転したコードの改善量が無いと判定されたとする。このようにして、次にコード J、コード K、コード L に対して更なる改善量が得られなくなるまで残りの列位置について符号を反転したコードを生成し、その中で最も大きな改善量が得られるコードを最適コードとして生成する。

【0025】このように、各コードに対して 1 箇所の列位置のみの符号を反転させたコードを生成し、その自己相関の算出による改良コードの存否判定は、コード長が N の場合、N 個のコードについての自己相関の算出だけで行うことができ、 $2^N$  個の全コードに互って自己相関を算出する従来の改良コード探索と比較すると、大幅に少ない計算量によって改良コードを見つけて生成することができる。なお、本発明は 2 相コードの長さに関係なく適用できる。

【0026】図 2 に本発明の手順により探索した改良コード及びその改善量の数値例を示す。同図の ( a ) の表は M 系列改良コードの例を示し、同図の ( b ) は L 系列改良コードの例を示している。図 2 の ( a ) において、N は図 5 に示した N であり、コード長は  $2^N - 1$  である。ここで図 2 ( a ) の表の第 1 行目は、N = 5、コード長 31 のコードに対して、その列位置 20 番目の符号を反転したコードのサイドローレベルは 4 となり、これは符号反転しない元のコードのサイドローレベル ( 図示省略しているが 5 ) から 1 の改善量が得られることを示している。

【0027】また、図 2 ( a ) の表の第 5 行目は、N = 9、コード長 511 のコードに対して、その列位置 10 番目、170 番目、381 番目、448 番目の符号を反転したコードのサイドローレベルは 18 となり、これは符号反転しない元のコードのサイドローレベル ( 図示省略しているが 22 ) から 4 の改善量が得られることを示している。その他の行については同表に示した通りであるので説明を省略する。

【0028】図 2 の ( b ) の L 系列改良コードの表において、コード長は図 7 に示した P で与えられ、その値は素数である。ここで図 2 ( b ) の表の第 1 行目は、コード長が 1021 で先頭符号が “ + 1 ” のコードを 248 回分巡回シフトしたコードに対して、その 62 番目、207 番目、651 番目の符号を反転したコードのサイドローレベルは 23 で、これは符号反転しない元のコー

ドのサイドローレベル ( 図示省略しているが 26 ) から 3 の改善量が得られることを示している。他のその他の行については同表に示した通りであるので説明を省略する。

【0029】更に、M 系列コード及び L 系列コードの改良コードの効率的な探索方法として、コード長、サイドローブ改善値、符号反転位置等のパラメータ関係を統計的に調査することにより、少ない計算量で改良コードを探索することができる。

10 【0030】図 3 は符号反転位置と改良コード出現数との統計的な相関関係をグラフにより表したものである。同図に示すように、コードの両端に近い位置の符号反転により、より多くの改良コード出現が得られる傾向があることが分かる。このような統計的特性に着目することにより、より少ない計算量で改良 2 相コードを探索することができる。

【0031】次に、本発明により得られる改良 2 相コードの好適な適用例を以下に挙げる。

( 1 ) 監視レーダのパルス圧縮用信号

20 監視レーダには探知距離と距離分解能の性能を向上させるためにパルス圧縮を行う。パルス圧縮には、自己相関の算出においてサイドローブが小さくなるような周波数又は位相変調の信号が必要である。この位相変調信号として本発明による改良 2 相コードを使用することができる。

【0032】( 2 ) 携帯電話の拡散符号用信号

30 携帯電話用の一部の無線装置には符号分割多元接続 ( CDMA ) 通信方式が採用され、この符号分割多元接続 ( CDMA ) 通信には 2 相コードの拡散符号が用いられている。この拡散符号に本発明による改良 2 相コードを使用することができる。

【0033】( 3 ) 超音波探傷のパルス圧縮用信号

物質を非破壊で検査する超音波探傷装置において、探傷感度及び分解能を高めるのにパルス圧縮技術がよく用いられる。パルス圧縮用の信号には自己相関のサイドローブが小さくなるような周波数又は位相変調の信号が必要である。この位相変調信号として本発明による改良 2 相コードを使用することができる。

【0034】( 4 ) 地中レーダのパルス圧縮用信号

40 地中を非破壊で検査する地中レーダの探知距離及び分解能を上げるのにパルス圧縮技術がよく用いられる。パルス圧縮用の信号には自己相関のサイドローブが小さくなるような周波数又は位相変調の信号が必要である。この位相変調信号として本発明による改良 2 相コードを使用することができる。

【0035】( 5 ) アクティブソナーのパルス圧縮用信号

50 アクティブソナーの探知距離及び分解能を上げるのにパルス圧縮技術を適用することができる。このパルス圧縮用の信号には自己相関のサイドローブが小さくなるよう

な周波数又は位相変調の信号が必要である。この位相変調信号として本発明による改良 2 相コードを使用することができる。

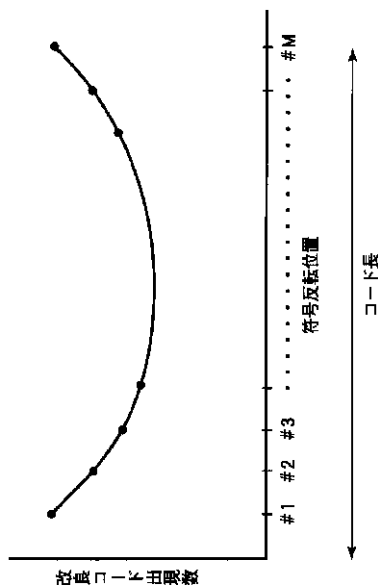
【0036】(6) 超音波診断のパルス圧縮用信号  
体を傷つけず体内を診断する超音波診断において感度及び分解能を上げるパルス圧縮技術が適用される。このパルス圧縮用の信号には自己相関のサイドローブが小さくなるような周波数又は位相変調の信号が必要である。この位相変調信号として本発明による改良 2 相コードを使用することができる。

【0037】(7) 秘匿通信信号  
秘匿情報を送受信する場合、送信側は送信信号を暗号コードにより変調して送信し、受信側では受信信号を同じ暗号コードで復調することにより秘匿情報を得ることができる。受信側はその暗号コードを知らされていないと解読することができない。この暗号コードに本発明による改良 2 相コードを使用することができる。

【0038】  
【発明の効果】以上説明したように、本発明によれば、2 相コードの 1 箇所の符号のみを反転したコードの自己相関を算出し、符号反転位置の異なる各 2 相コードの中から最も自己相関性の高い 2 相コードを探索して生成することにより、更に自己相関性の高い改良コードを簡易にかつ速やかに探索することができ、この自己相関性の高い改良コードを、パルス圧縮用信号、妨害対策用信号、拡散符号用信号、秘匿通信信号等に使用することに

【図 3】

符号反転位置と改良コード出現数との統計的な相関関係



より、改良前のコードよりもパルス圧縮比（信号とサイドローブとの比）が改善され、また、符号分割多元接続（CDMA）通信、秘匿通信、妨害電波環境下での通信等において、信号対雑音比（S/N）の高い通信を行うことが可能となる。

【図面の簡単な説明】

【図 1】本発明による改良 2 相コードを探索する手順の説明図である。

【図 2】本発明により探索した改良コード及びその改善量の数値例を示す図である。

【図 3】符号反転位置と改良コード出現数との統計的な相関関係を示す図である。

【図 4】Barker Code 13 の自己相関を示す図である。

【図 5】M 系列コードの発生の説明図である。

【図 6】M 系列コードの自己相関を示す図である。

【図 7】L 系列コードの発生の説明図である。

【図 8】コード長が 5 の L 系列コードについての最適コード探索の説明図である。

【図 9】コード長が 7 の L 系列コードについての最適コード探索の説明図である。

【符号の説明】

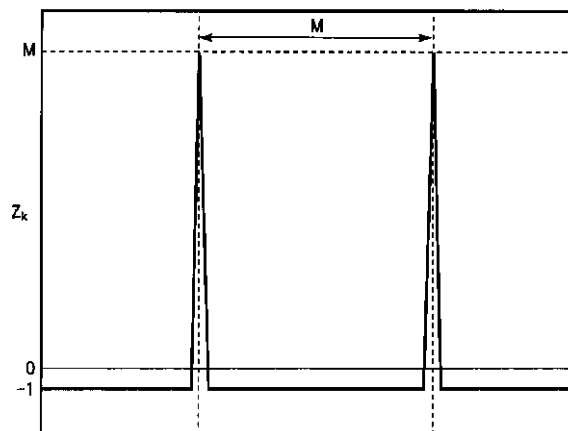
A 元コード

B ~ L 元コードから 1 箇所ずつ符号反転して生成したコード

$N_1 \sim N_{11}$  コードを構成する符号列の列位置

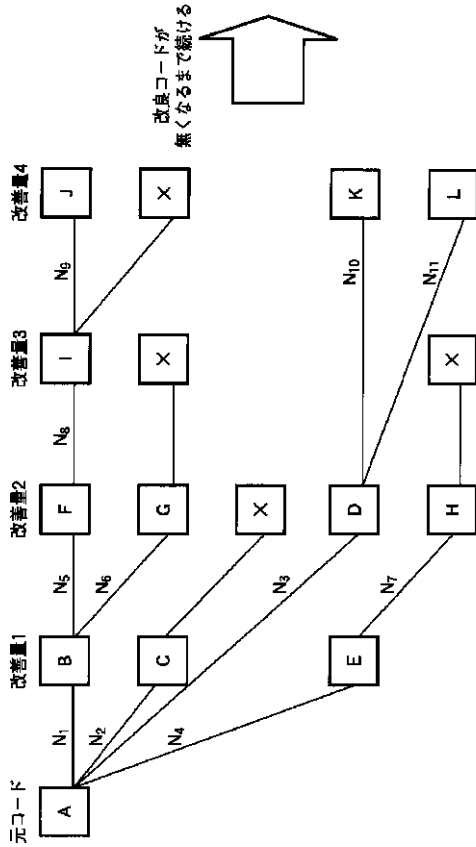
【図 6】

M 系列コードの自己相関結果



【図1】

本発明による改良2相コードを探索する手順



【図2】

本発明により探索した改良コード及びその改善量の数値例

(a) M系列改良コードの例

| N  | コード長 | 係数                       | 反転              | サイドロープ | 改善量 |
|----|------|--------------------------|-----------------|--------|-----|
| 5  | 31   | -1,-1,1,-1,1             | 20              | 4      | 1   |
| 6  | 63   | 1,1,-1,-1,1,1            | 60              | 7      | 1   |
| 7  | 127  | -1,-1,1,1,-1,1           | 53              | 9      | 1   |
| 8  | 255  | -1,1,1,-1,-1,1           | 127             | 13     | 1   |
| 9  | 511  | -1,1,1,-1,1,-1,1,1       | 10,170,381,448  | 18     | 4   |
| 10 | 1023 | 1,1,1,-1,-1,1,1,-1,1     | 557,692,808,811 | 28     | 4   |
| 11 | 2047 | -1,1,1,1,1,-1,1,1,-1,1,1 | 398,959         | 42     | 1   |

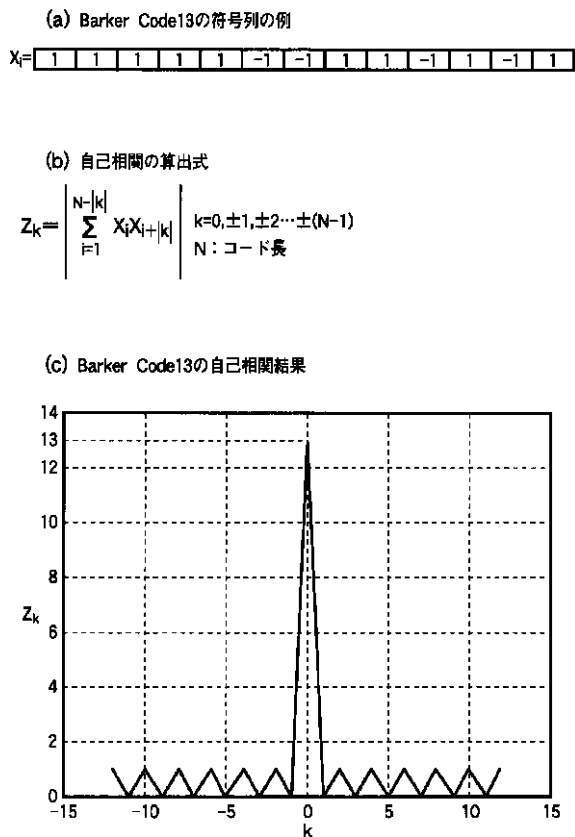
初期値は $C_1 \sim C_N$ に全て1を設定

(b) L系列改良コードの例

| コード長 | 先頭 | シフト  | 反転                  | サイドロープ | 改善量 |
|------|----|------|---------------------|--------|-----|
| 1021 | +1 | 248  | 62,207,651          | 23     | 3   |
| 1193 | +1 | 304  | 496,712             | 25     | 2   |
| 1361 | +1 | 342  | 26,726,897          | 27     | 3   |
| 1579 | +1 | 1173 | 418                 | 29     | 2   |
| 1783 | +1 | 1339 | 1170,1354,1545,1682 | 30     | 4   |
| 1931 | +1 | 488  | 208,223,354,411     | 33     | 4   |
| 2137 | +1 | 551  | 492,571,1464,1997   | 35     | 4   |

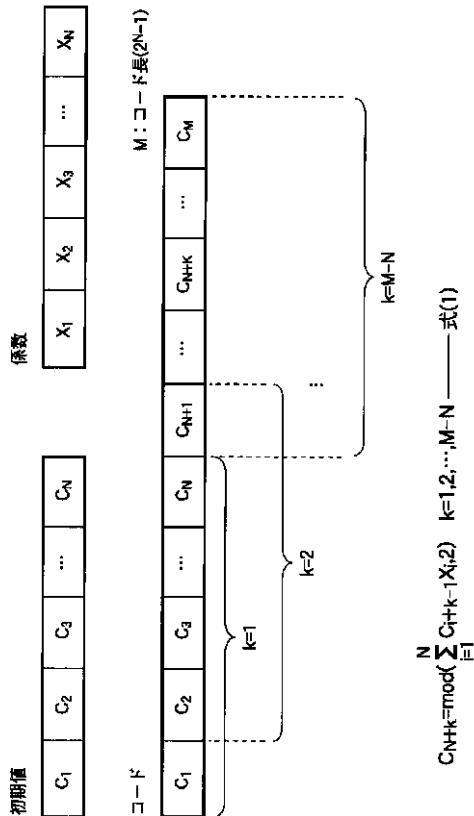
【 図 4 】

Barker Code13の自己相関



【 図 5 】

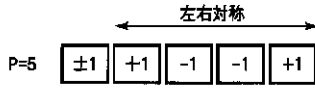
M系列コードの発生



【 図 7 】

L系列コードの発生

(a)  $P=1 \bmod 4$ は左右対称のコードになる



(b)  $P=3 \bmod 4$ は左右反対のコードになる



$$\left. \begin{aligned} L_n &= \text{mod}(L_{n-1} + 2n - 1, P) \\ n &= 1, 2, \dots, (P-1)/2 \end{aligned} \right\} \dots \text{式(2)}$$

(c) 符号列の列位置番号



【 図 8 】

コード長が5のL系列コードについての最適コード探索

| 番号 | コード    | 先頭 | シフト | サイドロープ | 備考    |
|----|--------|----|-----|--------|-------|
| 1  | ⊕+---+ | +  | 0   | 3      |       |
| 2  | ⊕⊕---  |    | 1   | 2      |       |
| 3  | ⊕⊕---  |    | 2   | 2      |       |
| 4  | ---+⊕+ |    | 3   | 2      | 2番と同じ |
| 5  | ---+⊕+ |    | 4   | 3      | 1番と同じ |
| 6  | ⊕⊕---  |    | 0   | 2      |       |
| 7  | ⊕⊕---  |    | 1   | 2      |       |
| 8  | ---+⊕+ |    | 2   | 4      |       |
| 9  | ---+⊕+ |    | 3   | 2      | 7番と同じ |
| 10 | ---+⊕+ |    | 4   | 2      | 6番と同じ |

斜線部分: サイドロープが最も低いコード

【図9】

コード長が7のL系列コードについての最適コード探索

| 番号 | コード   | 先頭 | シフト | サイドロープ | 備考    |
|----|-------|----|-----|--------|-------|
| 1  | ⊕+++- | +  | 0   | 2      |       |
| 2  | ⊕+++- |    | 1   | 2      |       |
| 3  | ⊕+++- |    | 2   | 2      |       |
| 4  | ⊕+++- |    | 3   | 3      |       |
| 5  | ⊕+++- |    | 4   | 1      |       |
| 6  | ⊕+++- |    | 5   | 2      |       |
| 7  | ⊕+++- |    | 6   | 3      |       |
| 8  | ⊕+++- |    | 0   | 3      | 7番と同じ |
| 9  | ⊕+++- |    | 1   | 2      | 6番と同じ |
| 10 | ⊕+++- |    | 2   | 1      | 5番と同じ |
| 11 | ⊕+++- |    | 3   | 3      | 4番と同じ |
| 12 | ⊕+++- |    | 4   | 2      | 3番と同じ |
| 13 | ⊕+++- |    | 5   | 2      | 2番と同じ |
| 14 | ⊕+++- |    | 6   | 2      | 1番と同じ |

サイドロープが最も低いコード

フロントページの続き

(72)発明者 増田 順二  
 神奈川県川崎市中原区上小田中4丁目1番  
 1号 株式会社富士通システム統合研究所  
 内

(72)発明者 三好 壮人  
 神奈川県川崎市中原区上小田中4丁目1番  
 1号 株式会社富士通システム統合研究所  
 内

Fターム(参考) 5J049 AA00 CB00 CB05 CC00